

## مقایسه عملکرد ایروالاستیستیته پرهای مبنا و بهینه شده در توربین بادی محور افقی

محمد رضا صابر<sup>۱</sup>، محمد حسن جوارشکیان<sup>۲\*</sup>

۱- دانشجوی کارشناسی ارشد، مهندسی هوافضا - پیشرانش، دانشگاه فردوسی مشهد، مشهد

۲- دانشیار، مهندسی مکانیک، دانشگاه فردوسی مشهد، مشهد

\* مشهد، کدپستی ۹۱۷۷۹۴۸۹۷۴

### اطلاعات مقاله

مقاله پژوهشی کامل

دریافت: ۰۴ دی ۱۳۹۲

پذیرش: ۰۲ بهمن ۱۳۹۲

ارائه در سایت: ۰۵ آبان ۱۳۹۳

کلید واژگان:

توربین باد

BEM

الگوریتم رنگی

شبکه عصبی

بهینه سازی

استخراج گردیده و دو پره از دیدگاه فوق مقایسه شده است.

## 2- معادلات حاکم

معادلات حاکم برای تحلیل جریان سیال و محاسبه نیروهای آبرودینامیکی عبارتند از معادلات بقای جرم، مومنتوم و اسکالار می باشند. به منظور مدل سازی اثر آشفتگی جریان از مدل  $U - K$  استفاده شده است. معادلات فوق توسط روش حجم محدود گستته شده و ترم جایجایی توسط روش متغیرهای بی بعد شده کنترل و محدود گردیده است. معادلات گستته شده توسط الگوریتم سیمپل حل شده است. به منظور بهینه سازی، شبکه عصبی و الگوریتم ژنتیک برای پردازش داده ها اعمال گردیده است. جزئیات بیشتری از معادلات حاکم گستته شده، الگوریتم حل جریان سیال و الگوریتم بهینه سازی آبرودینامیکی در مرجع [11] آورده شده است. به منظور تحلیل الاستیسیتی برای دو پره، از روش سختی یا تغییر مکان برای تحلیل استفاده شده است که در این روش مجهولات، تغییر مکان های گره های می باشند. با در نظر گرفتن معادلات تعادل<sup>1</sup> و سازگاری<sup>2</sup> در هر گره به مجموعه ای از معادلات جبری دست خواهیم یافت که بر حسب مجهولات تغییر مکان گره های مربوط شده اند. با استفاده از معادله های تعادل روابط بین نیروها و تغییر مکان ها محاسبه می شوند و با بدست آوردن یک دستگاه معادله های جبری و حل آن، تغییر مکان های گره های محاسبه می شوند [12].

معادلات تعادل در حالت سه بعدی در رابطه 1 آورده شده است.

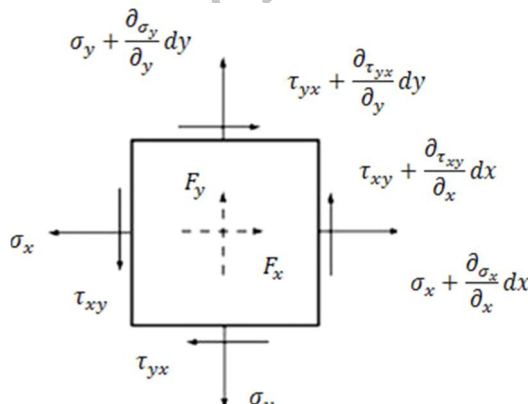
$$\begin{aligned} \frac{\partial \sigma_x}{\partial x} + \frac{\partial \tau_{xy}}{\partial y} + \frac{\partial \tau_{xz}}{\partial z} + F_x &= 0 \\ \frac{\partial \sigma_y}{\partial y} + \frac{\partial \tau_{xy}}{\partial x} + \frac{\partial \tau_{yz}}{\partial z} + F_y &= 0 \\ \frac{\partial \sigma_z}{\partial z} + \frac{\partial \tau_{xz}}{\partial x} + \frac{\partial \tau_{yz}}{\partial y} + F_z &= 0 \end{aligned} \quad (1)$$

معادلات کرنش- تغییر مکان برای یک المان مکعب مستطیل به ابعاد  $d_y$  و  $d_z$  در رابطه 2 آورده شده است که  $u, v, w$  تغییر مکان در جهت های محور مختصات می باشند. المان تنفس در حالت دو بعدی در شکل 1 آورده شده است.

$$\left\{ \begin{array}{l} \varepsilon_x = \frac{\partial u}{\partial x}, \varepsilon_y = \frac{\partial v}{\partial y}, \varepsilon_z = \frac{\partial w}{\partial z} \\ \gamma_{xy} = \frac{\partial u}{\partial y} + \frac{\partial v}{\partial x}, \gamma_{yz} = \frac{\partial v}{\partial z} + \frac{\partial w}{\partial y}, \gamma_{zx} = \frac{\partial w}{\partial x} + \frac{\partial u}{\partial z} \end{array} \right. \quad (2)$$

معادلات تنفس- کرنش نیز در رابطه 3 آورده شده است

$$\begin{aligned} \sigma_x &= 2G\varepsilon_x + \lambda e & \tau_{xy} &= G\gamma_{xy} \\ \sigma_y &= 2G\varepsilon_y + \lambda e & \tau_{yz} &= G\gamma_{yz} \\ \sigma_z &= 2G\varepsilon_z + \lambda e & \tau_{xz} &= G\gamma_{xz} \end{aligned} \quad (3)$$



شکل 1 المان تنفس در حالت دو بعدی

1-Equilibrium  
2- Compatibility

و همکارانش [2] به بررسی مشخصات ایروالاستیسیتیه مبتنی بر دینامیک اجسام انعطاف پذیر با استفاده از نرم افزار انسیس پرداختند و نتایج حاصل را با نتایج آزمایشگاهی مقایسه کردند. کار دنیاس و همکارانش [3] با استفاده از یک روش ترکیبی کاهش مرتبه و ساده سازی به مدل تیرهای نازک میزان و محل آسیب به پرهای توربین باد را ارزیابی کردند. ال کو [4] به مطالعه رفتار ایروالاستیک یک ایرفویل انعطاف پذیر توربین بادی پرداخت. در این روش با استفاده از یک کد ترکیبی، با بکار گیری نرم افزار ایکس فویل برای محاسبات ایرودینامیکی و نرم افزار متلب برای آنالیز جامداتی، تاثیر انعطاف پذیری بالواره را در طراحی پارامترهای مختلف بررسی نمود. باکس وانو [5] با استفاده از یک مدل عددی جدید که حاصل از ترکیب حل ناویر- استوکس با مدل الاستیک و دو روش ترکیبی برای مطالعه رفتار ایروالاستیک در شرایط بال زدن می باشد، به بررسی پارامترهای ایروالاستیک روی پره پرداخت. فرنو [6] یک روش محاسباتی غیرخطی موثر برای آنالیز یک پره توربین باد به کار برد. او برای این کار پره توربین را با یک تیر یکسر گیردار غیر پیکنواخت تقریب زد که باعث کاهش هزینه محاسباتی آنالیز شد. مارتین [7] پارامترهای واپسیتی به پرهای توربین بادی انعطاف پذیر با مواد الاستیک را بررسی کرد. او یک مدل ریاضی برای پیش بینی مقدار تغییر شکل ناشی از نیروهای ایرودینامیک بروی پره توربین باد به کار برد که نتایج نشان داد که یک ایرفویل را می توان با یک تیر غیر منشوری تقریب زد. دال مونته [8] به بهینه سازی جامداتی با استفاده از الگوریتم ژنتیک چند هدفه روی پره توربین بادی با مواد کامپوزیتی پرداخت که سبب کاهش وزن پره و افزایش استحکام در لبه ها شد. جین چن و همکارانش [9] به مطالعه بهینه سازی جامداتی پره توربین باد پرداختند که در این روش با استفاده از یک روش ترکیبی مبتنی بر تئوری المان پره و الگوریتم از دحام ذرات، پره را بهینه کردند که نتایج این روش باعث کاهش وزن پره و تغییر چگالی جرمی پره شد. باکنی و همکارانش [10] به بهینه سازی جامداتی پره توربین بادی با استفاده از تکنیک بهینه سازی توپولوژی پرداخت. آن ها با این روش توانستند به بیشترین سختی و کمترین تنفس در روی پره برسند. نتایج این روش نشان داد که پره تحت خمش های نامتقارن بطور موثر تر عمل می کند.

در بیشتر تحقیقات انجام شده از یک سری فرض هایی برای ساده کردن آنالیز جریان و مدل سازی استفاده شده است از جمله: 1- فرض جریان دو بعدی برای هر مقطع 2- عدم استفاده از معادلات ناویر استوکس برای تحلیل و اکتفا به روش های المان محدود یا حل جریان اولیر 3- برای مدل پره از تقریب تیر یکسر گیردار استفاده شده است 4- در این تحقیق نتایج تنفس لزجت سیال و فشار دقیقا بر روی پره اعمال گردیده و نیاز به نرم افزار رابط برای میان بابی یا درون بابی نمی باشد. علاوه بر موارد فوق، در الگوریتم بهینه سازی استفاده شده، پس از آموش شبکه عصبی، برای بهینه کردن نیاز مجدد به حل جریان روی پره نمی باشد بلکه با الگوریتم ژنتیک توسعه یک سری روابط ریاضی (بدون حل جریان سیال روی پره که بسیار زمان گیر می باشد) بهینه سازی صورت می گیرد.

هدف از این تحقیق بهینه سازی پویا تر و در عین حال کاهش در زمان محاسبات و مقایسه عملکرد ایروالاستیسیتیه پرده توربین بهینه شده و مبنای یک توربین باد جریان محوری می باشد. در این تحقیق پس از مقایسه آبرودینامیکی پره ها، نیروهای فوق بر روی گره های شبکه پره بهینه شده و مینما، اعمال و توسط نرم افزار انسیس تحلیل تنفس می شوند. در ابتدای این تحقیق، اعتبارسنجی برای تحلیل آبرودینامیکی و تنفس، صورت گرفته است و در انتها پس از شبیه سازی و تحلیل، تنفس، کرنش و تغییر مکان های گره ای

روی پره توربین، نیروی اینرسی حاصل از چرخش پره توربین نیز در نظر گرفته شده است که در اینجا سرعت باد 20 متر بر ثانیه و سرعت چرخشی توربین نیز  $8/235$  رادیان بر ثانیه می باشد. شبکه بندی ایجاد شده و اعمال نیروهای ایرودینامیکی بر روی گرهات پره توربین باد در شکل 3 نشان داده شده است. برای حل عددی یک سازه به صورت المان محدود لازم است که ابتدا ماتریس سختی تکنیک المانها به دست آید. با به دست آوردن ماتریس سختی، معادله های حاکم بر رفتار یک المان از فرمول 6 بدست می آید:

$$(6) \quad \{f\}^e = [k] \{d\}^e$$

که در آن  $\{f\}$  بردار نیروهای گرهات المان،  $[k]$  ماتریس سختی المان و  $\{d\}$  بردار درجات آزادی گرهات المان یا تغییر مکان گرهات می باشد.

با استفاده از روی هم گذاری ماتریس های سختی المانها، ماتریس سختی کلی سازه به دست می آید. روابط 7 و 8 برای روی هم گذاری ماتریس سختی المانها، بردار نیروهای گرهات المانها و بردار درجات آزادی آنها نوشته می شود.

$$(7) \quad [k] = \sum_{e=1}^n [k]^e, \quad \{f\} = \sum_{e=1}^n \{f\}^e, \quad \{d\} = \sum_{e=1}^n \{d\}^e$$

در نتیجه معادله عمومی سازی از رابطه 8 بدست می آید:

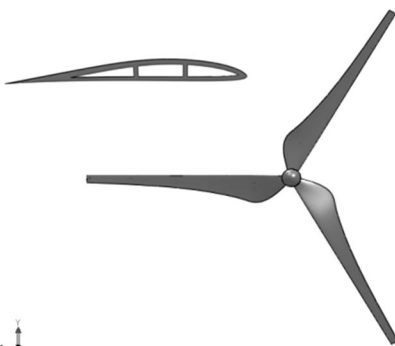
$$(8) \quad \{f\} = [k]\{d\}$$

که در آن  $\{f\}$  بردار نیروهای گرهات کل سازه،  $[k]$  ماتریس سختی کل سازه و  $\{d\}$  بردار درجات آزادی گرهات یا تغییر مکان های عمومی کل سازه می باشد. در نوشتن معادله فوق شرایط مرزی حاکم بر مسئله نیز اعمال می گردد. در این مرحله معادله عمومی کل سازه به روش گاووس یا گاوس- سایدل و یا روش های عددی دیگر حل می شود و تغییر مکان های  $d_i$  محاسبه می شوند. با استفاده از  $d_i$  های محاسبه شده در مرحله قبل و همچنین با استفاده از معادله های کرنش- تغییر مکان و تنفس- کرنش، مقدار تنفس ها و کرنش ها در المان ها محاسبه می شوند.

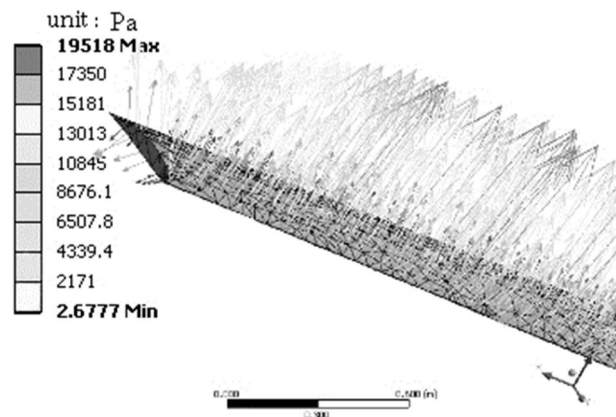
### 3- نتایج

در ابتدا مختصراً از نتایج دینامیک سیالات محاسباتی که در روی پره بینه شده و مینا انجام گرفته، ارائه می شود سپس نتایج حاصل از تحلیل جامداتی آورده می شود. پره بینه شده نوع اپلر E387 می باشد. طول این پره 17 متر، سرعت زاویه ای  $6/17$  رادیان بر ثانیه، سرعت باد 15 متر بر ثانیه و زاویه پیچش از  $2/5$ -  $2/4$ -  $0/4$  درجه تغییر می کند و متوسط عدد رینولدز 4500000 می باشد. پس از استقلال از حوزه حل محاسباتی و شبکه به کار گرفته شده، که در شکل های 4 و 5 نشان داده شده است [11]. به منظور اعتبارسنجی نتایج، توزیع ضریب فشار در  $50\%$  شعاع پره برای روش عددی حاضر با نتایج تجربی NREL [14] در مقطع پره S809 مقایسه شده است که در شکل 6 نشان داده شده است. در این مقایسه اختلافی بین دو نتایج مشاهده می شود که می تواند ناشی از مدل آشفتگی جریان، جدایش جریان، ویک های پایین دست جریان و گردابه های نوک باشد که توسط روش عددی بخوبی تفسیر نشده است. در شکل 7 مقطع بالواره بینه شده و مینا در تعدادی از زوایای حمله نشان داده شده است [11].

شکل 8 و 9 ضریب فشار برای دو مقطع  $95\%$  و  $50\%$  شعاع پره برای بالواره بینه شده و مینا را نشان می دهد. این منحنی ها نشان می دهد که تغییر قابل ملاحظه پس از بینه سازی در روی توزیع فشار در مقاطع اشاره شده بوجود آمده است. شکل های 10 و 11 ضریب رانش و توان را به ترتیب در توربین باد در دو حالت پره بینه شده و مینا تابعی از نسبت سرعت نوک پره نشان می دهد. از شکل های ارائه شده مشخص است که پره بینه شده نسبت



شکل 2 مدل هندسی پره توربین باد



شکل 3 شبکه و نیروهای ایرودینامیکی بر روی گرهات پره توربین

که در آن:

$$(4) \quad e = \varepsilon_x + \varepsilon_y + \varepsilon_z$$

$$(5) \quad \lambda = \frac{\nu E}{(1+\nu)(1-2\nu)}$$

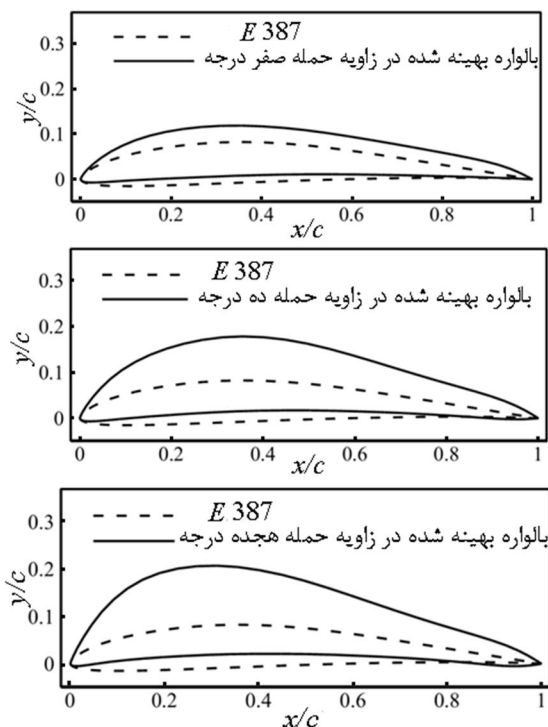
که در معادله 3،  $\sigma$  تنش عمودی،  $\tau$  تنش برشی،  $\gamma$  کرنش عمودی و  $\zeta$  کرنش برشی می باشد. به 6 مدل برشی و مقدار  $\lambda$  ثابت های لامه<sup>1</sup> می گویند [13]. با نشان دهنده کرنش حجمی<sup>2</sup> یا تغییرات حجم در واحد حجم می باشد. حل این پانزده معادله و پانزده مجھول می توان مسائل الاستیسیتی را در حالت سه بعدی حل نمود. در ابتدا با توجه به نوع سازه یا قطعه می توان مدل هندسی را از ترکیب نقاط، خطوط، سطوح و احجام به دست آورد. در اغلب نرم افزارهای المان محدود می توان مدل هندسی را توسط خود نرم افزار ایجاد نمود یا این که مدل هندسی ساخته شده در یک محیط نرم افزاری دیگر را فراخوانی نمود. در اینجا بعد از هندسی پره توربین بادی که توسط الگوریتم ژنتیک و شبکه عصبی بینه شده است، در نرم افزار سالیدورک<sup>3</sup> ساخته شده است. هندسه پره توخالی بوده و ضخامت آن 0.020 تر می باشد. شکل 2 هندسه مدل را نشان می دهد.

حال برای ایجاد شبکه حجم پره، ابتدا خطوط پره شبکه بندی شده سپس سطوح مقطع های پره به صورت بی سازمان مثلثی شبکه بندی می شود و در نهایت حجم پره شبکه می خورد. شرایط مرزی به کار رفته در این شبکه سازی عبارت است از ثابت بودن گرهات روی خط محور اصلی روتور توربین باد و نیز غیر چرخشی بودن این گرهات در راستای عمود بر محور دوران می باشد. جزئیات مربوط به معادلات حاکم و شرایط مرزی در تحلیل ایرودینامیکی بطور کامل در مرجع [11] آورده شده است. در این شبکه سازی علاوه بر اعمال نیروهای فشاری حاصل از حل دینامیک سیالات محاسباتی بر

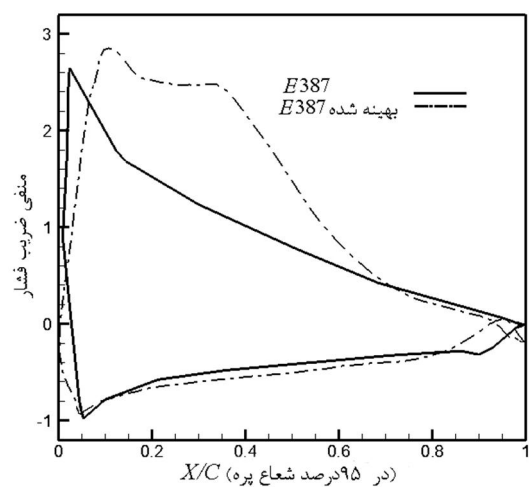
1- Lame constants

2- Dilatation

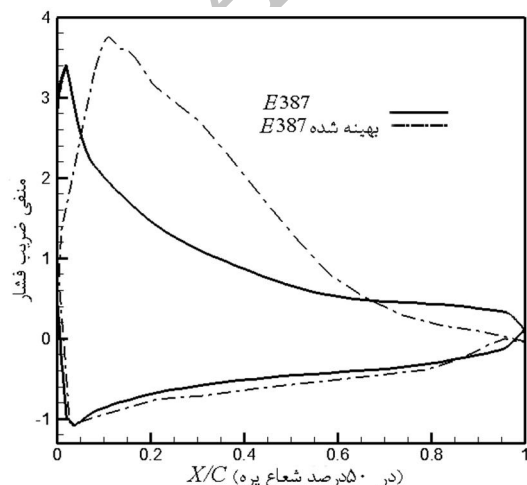
3- solid work



شکل 7 شکل بالواره مینا و بهینه شده در تعدادی از زوایای حمله

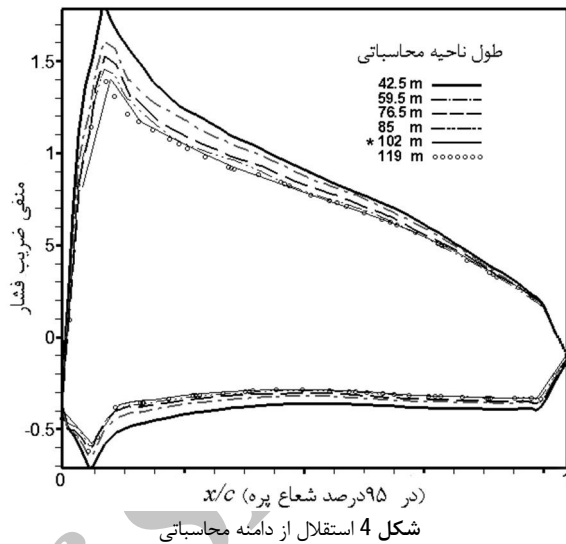


شکل 8 ضریب فشار در مقطع 95% شعاع پره در سرعت 20 متر بر ثانیه

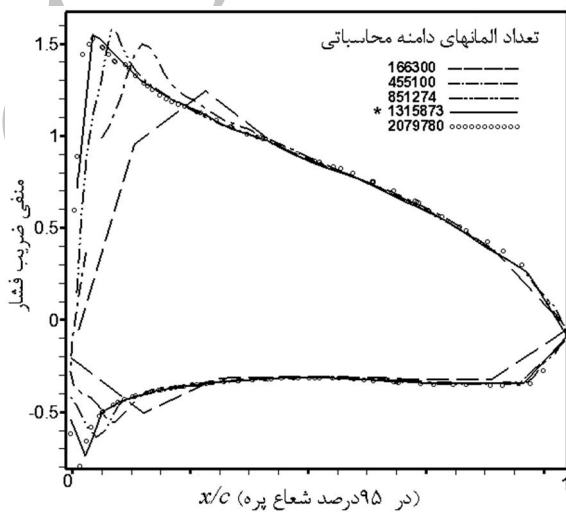


شکل 9 ضریب فشار در مقطع 50% شعاع پره در سرعت 20 متر بر ثانیه

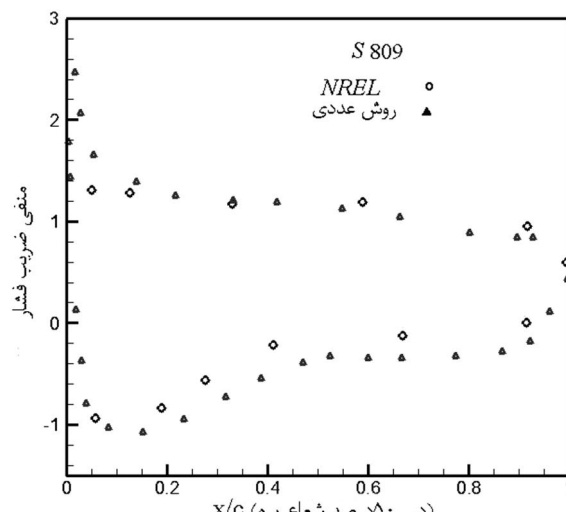
به پره مینا اختلاف فشار بیشتری را در دو سمت پره ایجاد می کند و سبب می شود پره در حالت بهینه شده توان بزرگتری را تولید نماید. مشخصه نیروی محوری یا همان رانش نیز در حالت بهینه در حدود 22% افزایش یافته است که خود رقمی قابل توجه می باشد [11].



شکل 4 استقلال از دامنه محاسباتی



شکل 5 استقلال از تعداد المان ها در شبکه محاسباتی



شکل 6 مقایسه ضریب فشار در 50 درصد شعاع پره توربین

جدول 2 خصوصیات مواد	
1500 kg/m <sup>3</sup>	چگالی
$1/2 \times 10^{-5}$ 1/C	ضریب انبساط حرارتی
434 J/kg.c	گرمای ویژه
60/5 w/m.c	هدایت حرارتی
$1/7 \times 10^{-7}$ ohm.m	مقاومت ویژه
0/3	ضریب پواسون
$1/9 \times 10^{11}$ پاسکال	مدول یانگ
$1/5833 \times 10^{11}$ پاسکال	مدول بالک
$7/3077 \times 10^{10}$ پاسکال	مدول برشی
$3/7 \times 10^8$ پاسکال	استحکام تسلیم فشاری
$3/5 \times 10^8$ پاسکال	استحکام تسلیم کششی
$4/6 \times 10^8$ پاسکال	استحکام کششی نهایی

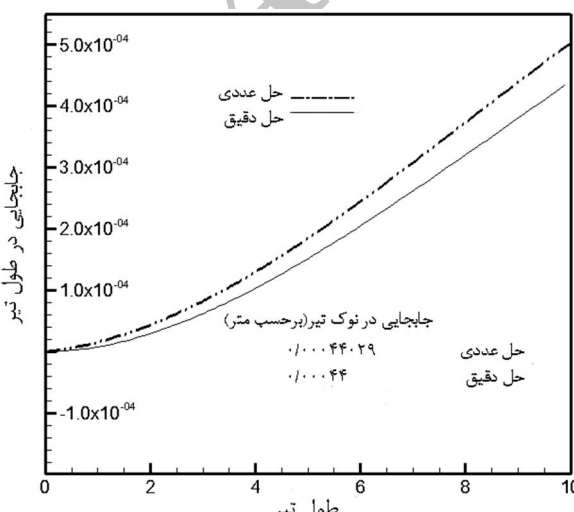
هدف از تحلیل جامداتی در اینجا بررسی تحلیل تنش و کرنش بر روی پره های مینا و بهینه شده می باشد. حال می خواهیم بررسی کنیم آیا پره بهینه شده توانایی تحمل بارهای ایروودینامیکی را دارد و ضریب اطمینان روتور توربین باد چقدر می باشد و این که تنش ماکریم اصلی پره روتور از حد تنش تسلیم ماده بالاتر نرفته باشد. به منظور اعتبارسنجی پره توربین باد در تحلیل جامداتی، ابتدا پره را با یک تیر یکسر گیردار تقریب زده و نیروی فشاری غیریکنواخت را به تیر اعمال کرده و نتایج حل دقیق با نتایج تحلیل عددی مقایسه شده است. طول تیر 10 متر و ابعاد مقطع آن 0/2 متر در عرض و 0/5 متر در ارتفاع می باشد. محاسبات زیر برای به دست آوردن تنش ماکریم و جابجایی دقیق انتهایی تیر انجام گرفته است. شکل 12 مقایسه جابجایی در طول تیر در حالت تئوری و عددی را نشان می دهد.

$$y'' = \frac{M(x)}{EI}, y'(0) = 0, y(0) = 0 \quad (9)$$

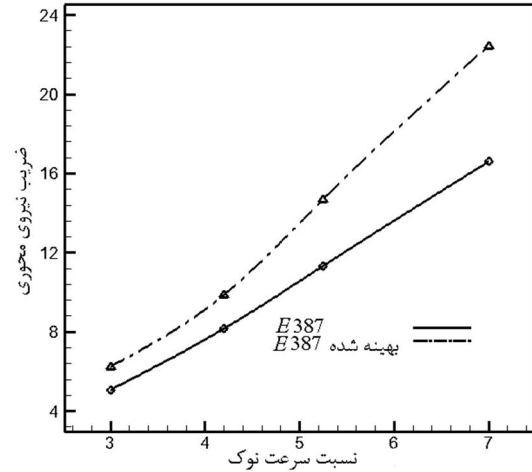
$$M(x) = -6666.66 + 1000x - 3.3333x^3 \quad (10)$$

$$\begin{cases} y' = \int y'' dx = \frac{1}{EI} [-6666.66x + 500x^2 - 0.8333x^4] \\ y = \int y' dx = \frac{1}{EI} [-3333.333x^2 + 166.66x^3 - 0.1666x^5] \end{cases} \quad (11)$$

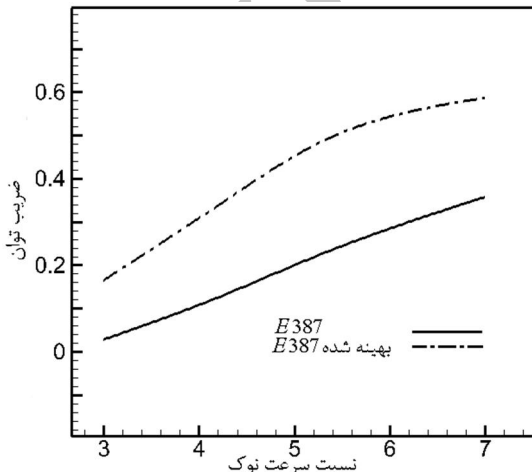
$$\{y_{(10)} = 0.00044 \text{ m} \quad (12)$$



شکل 12 مقایسه جابجایی در طول تیر در حالت تئوری و عددی



شکل 10 ضریب نیروی محوری پره در دو حالت پره بهینه شده و مینا



شکل 11 ضریب توان توربین باد در دو حالت پره بهینه شده و مینا

جدول 1 توان توربین باد در سرعت های متفاوت

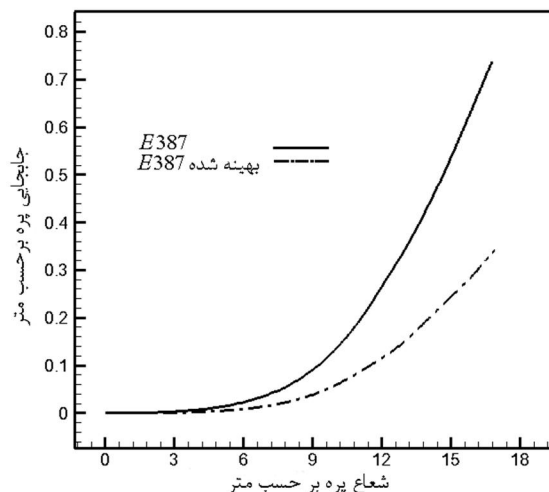
سرعت باد m/s	توان توربین در حالت مبنا kW	توان توربین در حالت بهینه شده kW
15	725	906
20	1363	1684
25	1883	2285
35	2418	2902
$\bar{p}_{\text{مینا}} = 1597$		$\bar{p}_{\text{بهینه شده}} = 1944$

به منظور نشان دادن افزایش توان پره بهینه شده، بدليل این که این پارامتر در سرعت های باد مختلف، متفاوت می باشد به ازای سرعت های مختلف بر طبق جدول 1 محاسبه شده است، سپس متوسط توان برای هر دو نوع پره ارائه گردیده است. این محاسبه نشان می دهد درصد افزایش توان متوسط برای توربین 17/83 % می باشد. مسلم است در طراحی، پارامترهای دیگری از جمله پروسه و هزینه ساخت از فاکتورهای مهم می باشد که در عمل با توجه به در نظر گرفتن همه فاکتورها تغییرات اعمال می شود.

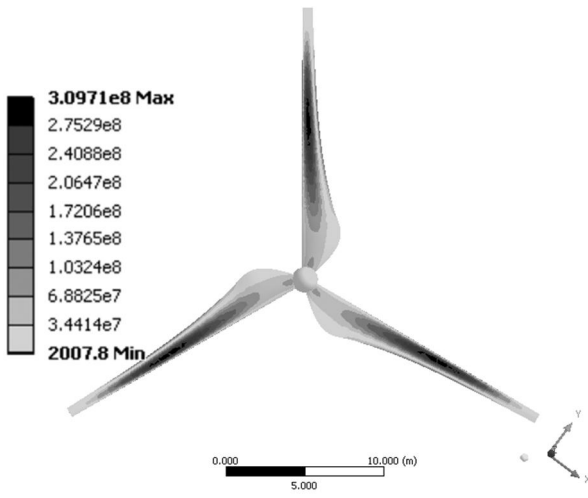
$$\frac{\bar{p}_{\text{بهینه شده}} - \bar{p}_{\text{مینا}}}{\bar{p}_{\text{مینا}}} \times 100 = \text{درصد افزایش توان}$$

### 3-1- خصوصیات مواد بکار گرفته شده

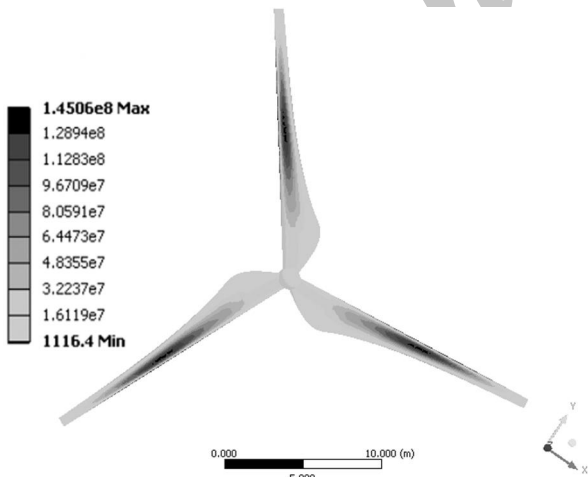
خصوصیات مواد به کار گرفته شده در این تحقیق در جدول 2 آمده است.



شکل 15 مقایسه تغییر شکل در راستای محور دوران بر حسب ساعت در روی پره بهینه شده و مینا



شکل 16 توزیع تنش ون میزز بر روی پره مینا بر حسب پاسکال

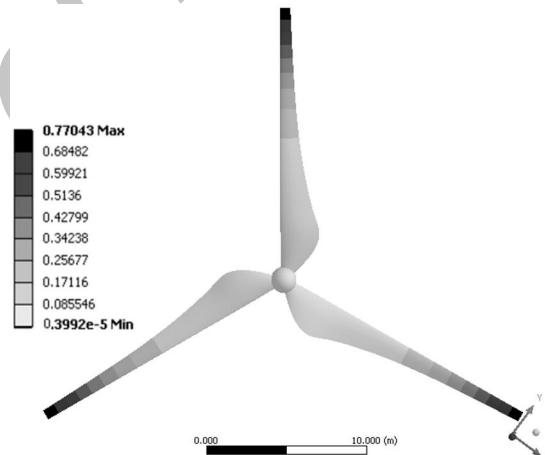


شکل 17 توزیع تنش ون میزز بر روی پره بهینه شده بر حسب پاسکال

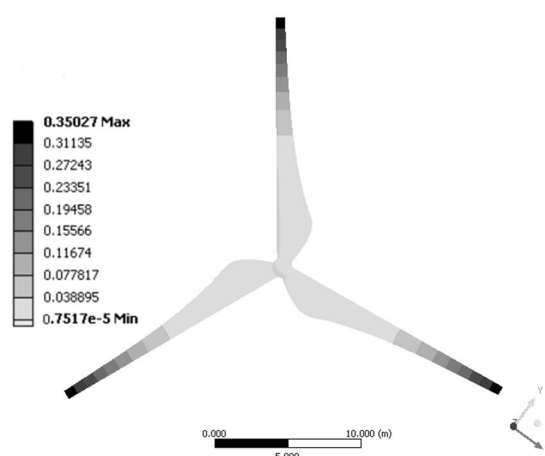
در شکل های 16 و 17 توزیع تنش ون میزز را برای دو پره نشان می دهد، در حالت پره مینا توزیع تنش ون میزز ناحیه گستردگی را تحت پوشش قرار داده است و علاوه بر آن تنش بیشینه در حالت بهینه شده %53 کاهش داشته است. این کاهش تنش مکریم در پره بهینه شده از چند نقطه نظر مورد بحث می باشد.

در شکل های زیر ابتدا تغییر شکل حاصل از اعمال نیروها نشان داده می شود و با توجه به این که نیروهای ایرودینامیکی در کل شامل برآ و پسا می باشند لذا انتظار می رود که پره در جهت اعمال این نیروها خم شود برای آن که این امر مشخص شود نمودارهایی برای تغییر شکل پره در جهات مختلف رسم گردیده است و پره حالت مینا و بھینه با یکدیگر مقایسه شده اند. در نهایت تنش ون میزز، تنش برشی مکریم، کرنش نرمال و ضریب اطمینان در روی پره نمایش داده می شود. شکل های 13 و 14 تغییر شکل حاصل از نیروها در راستای محور دوران در روی پره مینا و بھینه شده را به ترتیب نشان می دهد و شکل 15 مقایسه تغییر شکل در راستای محور دوران بر حسب ساعت در روی پره بهینه شده و مینا را نشان می دهد. مشاهده می شود هرچه ساعت افزایش می یابد اختلاف تغییر مکان در دو پره افزایش می یابد و پره بهینه دارای تغییر مکان کمتر می باشد.

بعبارت دیگر، جابجایی در نوک پره در حالت بهینه شده تقریبا 35 سانتی متر و در حالت پره مینا تغییرات در حدود 77 سانتی متر می باشد که گویای این است که نسبت به حالت پره مینا، تغییرات جابجایی در نوک پره در حدود 42 سانتی متر کمتر شده است که نشان از ممان خشمی کمتر در پره بهینه شده می باشد و از طرفی باعث می شود هندسه پره طراحی شده، دچار تغییرات کوچکتری شود و نیروهای ایرودینامیکی روی پره دستخوش تغییرات کمتری شود چرا که با تغییر هندسه پره، نیروهای ایرودینامیکی روی پره توربین باد از حالت بهینه دور شده و توان توربین باد کاهش می یابد.

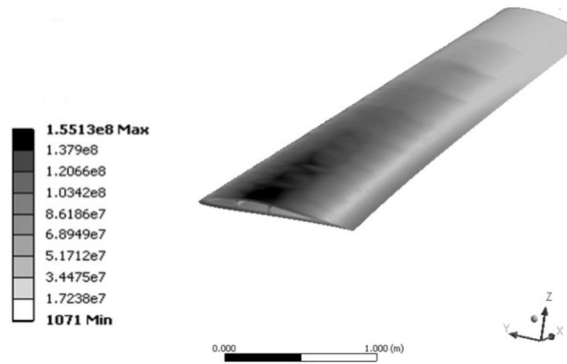


شکل 13 تغییر شکل حاصل از نیروها در راستای محور دوران در روی پره مینا بر حسب متر

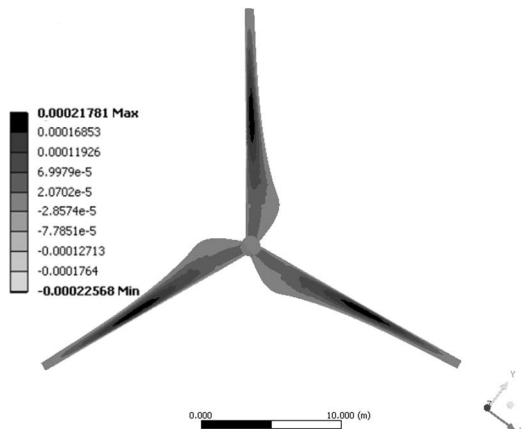


شکل 14 تغییر شکل حاصل از نیروها در راستای محور دوران در روی پره بهینه شده بر حسب متر

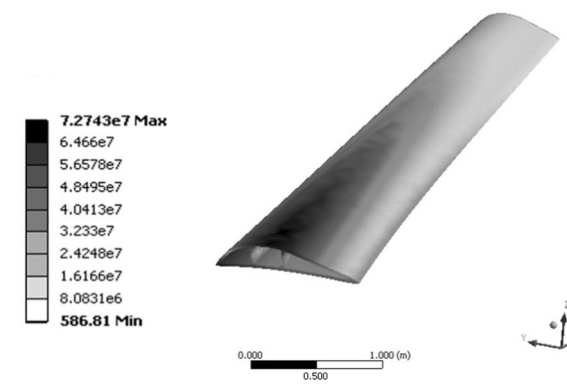
شکل های 18 و 19 توزیع تنش برشی ماکریم بر روی پره های مینا و بھینه شده را نشان می دهد. توزیع تنش برشی ماکریم بر روی پره بھینه شده، بعلت لنگر لختی سطح [15] بیشتر، توانایی تحمل بارهای بزرگتری را دارد و در برابر خمش موثرتر عمل می کند. از طرفی چون پره مورد نظر صفحه تقارن ندارد همزمان خمش و پیچش می باید و مرکز پرش بر مرکزار مقطع پره منطق نیست. در شکل های 20 و 21 کرنش نرمال در جهت محور دوران نشان داده شده است که در حالت بھینه شده در حدود 6/75 % کمتر شده است که گویای تنش نرمال محوری کمتر می باشد. و همان طور که مشاهده می شود کرنش نرمال محوری بیشینه تقریبا در  $\frac{1}{3}$  از نوک پره می باشد که احتمال شکست پره در آن محدوده بیشتر از سایر نقاط می باشد.



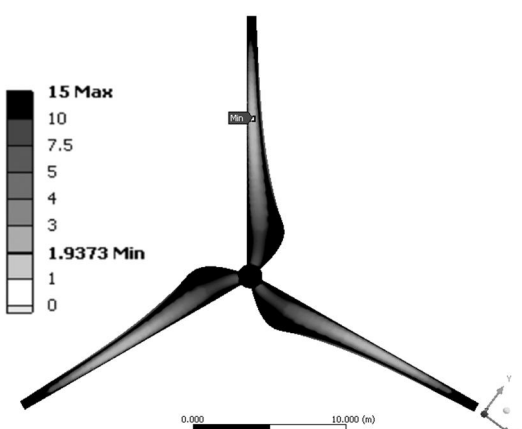
شکل 18 توزیع تنش برشی ماکریم بر روی پره مینا بر حسب پاسکال



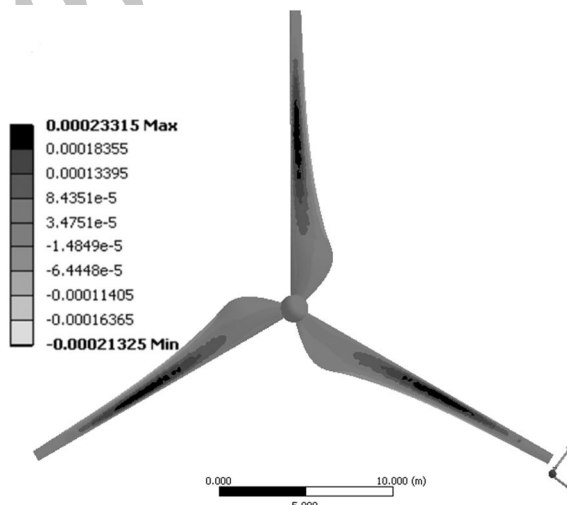
شکل 21 توزیع کرنش نرمال در جهت محور دوران بر روی پره بھینه شده



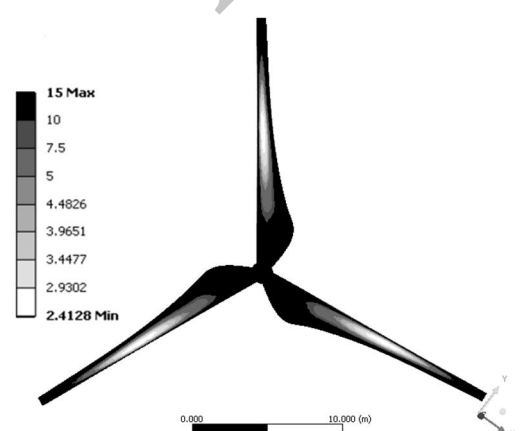
شکل 19 توزیع تنش برشی ماکریم بر روی پره بھینه شده بر حسب پاسکال



شکل 22 توزیع ضریب اطمینان بر روی پره مینا



شکل 20 توزیع کرنش نرمال در جهت محور دوران بر روی پره مینا



شکل 23 توزیع ضریب اطمینان بر روی پره بھینه شده

- 1- در دو پره بھینه و مینا تنش ماکریم در نقاط نظیر به نظر نمی باشد و ضخامت پره در این نقاط یکسان نیست 2- پره بھینه شده دارای لنگر لختی بزرگتری می باشد که سبب می شود تنش ماکریم در پره بھینه شده نسبت به پره مینا کاهش یابد. 3- در حالت بھینه چون با افزایش ضخامت و سطح مقطع همراه می باشد مسلماً افزایش وزن را هم به همراه دارد، عبارت دیگر اگر از یک فلزی با چگالی 1500 کیلوگرم بر متر مکعب برای ساخت پره استفاده شود، وزن ها در حالت بھینه و مینا تقریبا 17 و 12 تن بترتیب می باشد. اگرچه وزن ها در حالت بھینه با چگالی اشاره شده 29% افزایش می باشد با توجه به این که تنش ماکریم 53% کاهش یافته طراح می تواند نوع مواد پوسته و ضخامت ریب های استفاده شده در داخل پره را کاهش دهد که این پدیده خود می تواند کاهش وزن را به همراه داشته باشد.

تنش ماکزیم در نقاط حساس از تنش تسلیم ماده تجاوز نکرده است. مقدار تنش های ماکزیم اصلی پره نیز در حالت بهینه شده از پره مینا کمتر میباشد، چون لنگر لختی پره بهینه شده نسبت به حالت پره مینا بیشتر میباشد و تنش های بزرگتری را میتواند تحمل کند و در برابر نیروهای آبرو دینامیکی و خمس بطور موثرتری عمل کند.

## 5- مراجع

- [1] M.S. Jeonga, S. W. Kima, I. Leea, S. J. Yoob and K.C. Parkc, The impact of yaw error on aeroelastic characteristics of a horizontal axis wind turbine blade. 2013.
- [2] J. W. Leea, J. S. Leea and J. H. Han, Aeroelastic analysis of wind turbine blades based on modified strip theory. 2012.
- [3] D. Cárdenasa, H. Elizaldeb, P. Marzocca and S. Gallegos, A coupled aeroelastic damage progression model for wind turbine blades, 2012.
- [4] E. Hoogendoorna and G. B. Jacobs, Aero-elastic behavior of a flexible blade for wind turbine application: A 2D computational study, 2008.
- [5] C.A. Baxevanoua, P.K. Chaviaropoulosb, S.G. Voutsinasc and N. S. Vlachos, Evaluation study of a Navier-Stokes CFD aero-elastic model of wind turbine airfoils in classical flutter, 2008.
- [6] B.A. Freno and P.G.A. Cizmas, A computationally efficient non-linear beam model, 2011.
- [7] M. Puterbaugh and A. Beyene, Parametric dependence of a morphing wind turbine blade on material elasticity, 2011.
- [8] A. Dal Monte , M. R. Castelli and E.Benini, Multi-objective structural optimization of a HAWT composite blade, 2013.
- [9] J. Chena, Q. Wangb, W. Z. Shenc, X.Panga and S. Li, Structural optimization study of composite wind turbine blade, 2013.
- [10] N. Buckney, A.Pirrera, S. D. Green and P. M. Weaver, Structural efficiency of a wind turbine blade, 2013.
- [11] M.H. Djavaheshkian, A. LatifiBidarouni and M.R. Saber, New Approach to High-Fidelity Aerodynamic Design Optimization of a Wind Turbine Blade, *International Journal of Renewable Energy Research*, Vol. 3, No. 3, pp. 725-734, 2013.
- [12] O. C. Zienkiewicz, *The Finite Element Method in Engineering Science*, New York, McGraw – Hill, 1971; W. Weaver, Jr. and P.R. Johnston, *Finite Elements for Structural Analysis*, Englewood Cliffs,NJ:Prentice-Hall,1984.
- [13] Martin H. Sadd, *Theory applications and numeric's* Burlington, MA 01803, USA, Linacre House, Jordan Hill, Oxford OX2 8DP, UK,2009.
- [14] P. Giguere, and M. S. Selig, Design of a Tapered and Twisted Blade for the NREL Combined Experiment Rotor, Nrel/sr-500-26173, NREL, April 1999.
- [15] P. B. Ferdinand and E.R. Johnston, *Mechanics of Materials*, McGraw-Hill, 1992(second edition), Tehran, Iran. (In Persian)
- [16] Shigley, Mischke. *Budynas*, Mechanical Engineering Design, 7<sup>th</sup>.ed. 1927, Tehran, Iran. (In Persian)

ضریب اطمینان به نسبت استحکام تسلیم ماده به تنش مجاز گفته می شود که همواره برای طراحی های مختلف می باشد بزرگتر از یک باشد. استحکام تسلیم ماده نه به بارگذاری و نه به شکل ماده بستگی دارد و فقط به جنس ماده وابسته است [16]. در اینجا از تئوری ون میزز که انرژی اعوجاج یافته یا انرژی واپیچش ماده می باشد استفاده شده است. برطبق این تئوری ارتباط تنش های اصلی با ضریب اطمینان ( $\eta$ ) و تنش تسلیم ( $\sigma_s$ ) مطابق معادله 13 می باشد:

$$[1/2((\sigma_1 - \sigma_2)^2 + (\sigma_2 - \sigma_3)^2 + (\sigma_3 - \sigma_1)^2)]^{1/2} \geq \frac{\sigma_y}{n} \quad (13)$$

حال چون مقادیر تنش های اصلی در پره بهینه شده نسبت به پره مینا کمتر می باشد انتظار می رود که مقدار ضریب اطمینان بزرگتری را داشته باشد. در شکل های 22 و 23 مقدار مینیمم ضریب اطمینان در حالت پره مینا 1/9 و در حالت بهینه 2/4 نشان داده شده است که افزایش 19% را به مراد دارد.

## 4- نتیجه گیری

در این تحقیق، نتایج دو پره بهینه شده و مینا یک توربین باد محور افقی از دیدگاه ایرولاستیسیته مقایسه شده اند. شکل پره بهینه شده توربین باد، توسط حل جریان لرج، الگوریتم ژتیک و شبکه عصبی استخراج شده و تحلیل تنش و کرنش، با اعمال نیروهای آبرو دینامیکی برای دو پره صورت گرفته است. نقاط اصلی این تحقیق عبارتند از ۱- در تحلیل آبرو دینامیکی توان و نیروی رانش بترتیب 17/83 و 22 درصد در حالت بهینه افزایش یافته است. ۲- نرخ رشد ضریب توان و نیروی رانش در حالت بهینه شده بیشتر از حالت مینا می باشد. ۳- در پره بهینه شده، تغییر شکل پره در طول شعاع کمتر از حالت مینا می باشد که این باعث می شود عملکرد پره از حالت طراحی کمتر فاصله بگیرد. ۴- در این شبیه سازی از ساده سازی های کمتری برای تحلیل استفاده شده و نیروهای فشاری و لزجتی بطور مستقیم بر روی گره های شبکه پره اعمال شده است. ۵- توزیع تنش ون میزز پره در حالت بهینه شده 53 درصد کاهش داشته که این باعث می شود طراح بتواند در انتخاب ماده و نیز ضخامت پره در گستره وسیع تری حقه انتخاب داشته باشد که خود سبب می شود تا پره حاصل سبکتر ساخته شود و نیروهای وارد به شفت و یاتاقان ها کمتر و در عین حال از نظر اقتصادی بصره فتر باشد. ۶- ضریب اطمینان پره نیز در حالت بهینه شده بیشتر از حالت مینا می باشد. ۷- مقادیر تنش و کرنش و تغییر شکل ها در حد معقولی می باشد و مقادیر